

(3) 移動河床の粗度

九州大学応用力学研究所 正員 工博 ○ 濑原謹爾
山口大学工学部 正員 植東一郎

1 まえがき

固定河川と移動底河川との流れの抵抗法則の違いは、前者では、河床の粗度の大きさが流れの條件に無関係にきまつていて、後者では、河床に砂連等の凹凸が発生して大きな粗度を形成し、しかも、河床の凹凸は水理條件によって発達或いは崩壊することになり。従って、この問題を解明するためには河床を構成する砂礫の性質と水理條件とにますてどのまゝ寸法の砂連がつくられりかということ、及び、河床の砂連が流れに反ぼす影響を知りことが必要であら。このような見地から著者はまず実験水路及び島根県斐伊川において砂連の観測を行うと共に、H.K. Liu, N.H. Brooker, L.G. Straub 等の実験資料を検討して砂連の発生限界、大きさ等について調べた。次に実験水路の底面に人工の砂連形粗度をしきはらべて砂連の大きさと相当粗度との関係を求め、さらに、実際の流砂河川の資料からその粗度について若干の考察を行った。

2 底面に形成され砂連の性質

流れの水深を η 、底面を構成する砂礫の水中比重を σ 、粒径を D 、砂粒の混合状態をあらわすパラメーターを β 、砂連の波高及く波長をそれぞれ H/η とすれば、 H/η 及び波形勾配 H/I は次元考察より次のようになら。

$$H/\eta, H/I = f(\Psi, Fr, \frac{U_* D}{\eta}, \frac{\eta}{D}, \beta) \quad (1)$$

但し、 $\Psi = U_*^2 / \sigma g D$

ここに Ψ は掃流力の無次元表示、 Fr は Froude 数、 $U_* D / \eta$ は砂粒の Reynolds 数、 η/D は相対水深である。底面がほぼ均一な砂粒から構成されている場合には β を一意として(1)式は

$$H/\eta, H/I = f(\Psi, I, D_n) \quad (2)$$

とかかれり。ここに I は勾配、

$$D_n = \left[\left(\frac{\sigma}{1.65} \cdot \frac{\eta}{980} \right) / (100 \nu)^2 \right]^{\frac{1}{3}} D$$

であら。(1),(2)式における Ψ は流砂量の強度 $\Psi = \bar{q} / \sqrt{\sigma g D^3}$ を表わすものであらが、底面に砂連等の凹凸が形成されると河床附近の移動砂は河床の全抵抗ではなく凹凸にそろ境界層の剪断応力に支配されり。このまゝ場合には H.A. Einstein が提唱していゝように重は Ψ の函数とみはすよりも砂の移動に有効は掃流力 Ψ_e を導入する方が都合がよい。流砂量の実験結果から検討して河床附近の砂移動強度を規定する Ψ_e として

$$\Psi_e = \Psi \frac{\Psi}{\Psi_e} = \Psi \frac{\bar{q}/U_*}{(6.0 + 5.75 \log \frac{R}{D_{15}})} \quad (3)$$

を用いりと、浮流砂量の著しくない範囲 ($\bar{q}/4 U_* \geq 1.5$) においては底面の粗度、Reynolds 数に無関係に重は Ψ_e のみの函数とみなし得ることが知られた。上述のことから実験資料の整理においては(1),(2)式における Ψ は既におきかえた。さて、Liu は砂連が発生し始めた掃流力 Ψ ($= \Psi_e$) は限界掃流力にはぼ等しく $U_* D / \eta$ の函数となることを示してい。この限

界の Ψ_{el} は発生の下限を与えらるものであり、今一つの限界として掃流力の大きいところである掃流力をこえないと砂連が消滅して河床が平滑になると、いう上限の発生限界を考えられる。この上限の Ψ_{eu} は均一砂の場合には下の函数とみなしてよい様であり、砂連は Ψ_{el} より Ψ_{eu} の範囲において(1)又は(2)式のパラメータに規定され発達或いは崩壊の過程を示すものと考えられる。図-1及び図-2は粗い砂及び細かい砂にかけて砂連の波高と掃流力との関係を示したものである。図-1では H/R_b が Ψ_e とともにほぼ直線的に増加していくのに反し、図-2では同じ Ψ_e の範囲で減少していく。砂連に関する実験資料が少ないので今後の研究にまたねばならない点が多いが、粒度 D_s によって砂連はその発達、崩壊の過程を異にするようになる。

図-1

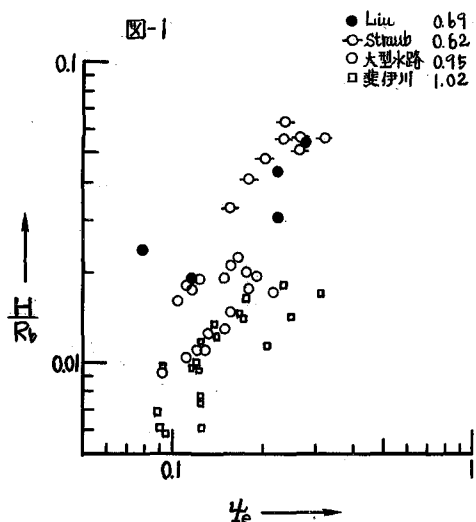
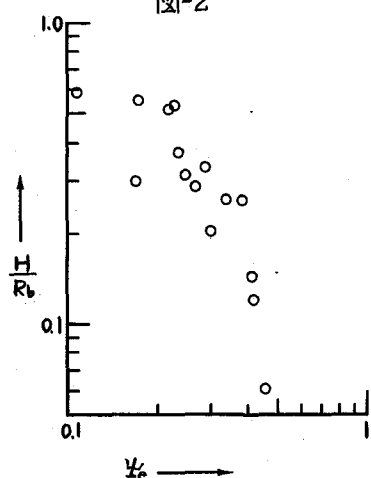


図-2



3 砂連の大きさと相当粗度との関係

斐伊川附近の大型水路及び斐伊川本川において砂連の大きさと流速との同時観測を行い、さらに、 $H=1\text{ cm}$, $\lambda=40, 20, 13.5\text{ cm}$ の非対称形の人工砂連の粗度を実験水路にしきはらべ砂連上の流れの機構及び大きさと相当粗度 f_{eq} との関係を明らかにした。次元解析によると f_{eq} の函数形は河床構成物質の見掛け上の粗度 f_{eq} として

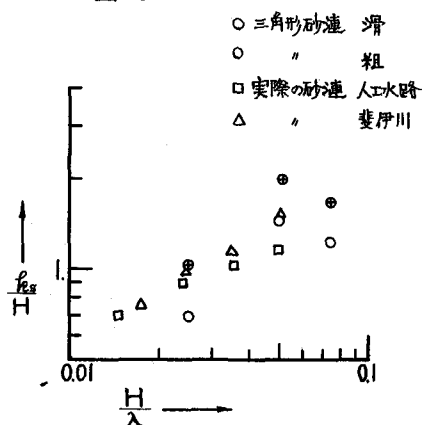
$$\frac{f_{eq}}{H} = f(H/\lambda, H/f_{eq})$$

となる。図-3は野外観測における観測値の平均及び人工粗度の f_{eq}/H を波形勾配に対してプロットしたものである。

4 流砂河川の粗度

流砂河川においては種々の irregularity が介入することが予想されるが、砂連等の底面の

図-3



凹凸が粗度に対して最も大きな役割を演するものと考えられ。前述の考察から砂礫の大さきは主として ψ_e 及び D_n に規定され、 ϕ_s は波高の影響を強くうけりから、平均流速公式

$$\bar{U}/U_* \equiv \varphi = 6.0 + 5.75 \log \frac{h}{\phi_s}$$

において、 φ 或いは h/ϕ_s は限界掃流力附近を除き主として ψ_e と D_n の函数となることが予想される。図-4に流砂河川の資料から φ と ψ_e の関係を示した。若干の例外はあるが、粗い砂 ($D_n \geq 0.06 \text{ cm}$) の河川では $\psi_e \leq 0.5$ において φ は ψ_e とともに減少し、砂礫が図-1に応じて発達の過程にあり、小粒径の砂の河川では ψ_e の殆んど全領域において崩壊の過程にあることを示すようと思われる。

図-4

